

УДК 535.42.01

РАСЧЕТ ДИФРАКЦИИ СВЕТА  
НА АКУСТИЧЕСКОЙ ВОЛНЕ  
СЛОЖНОГО СПЕКТРАЛЬНОГО СОСТАВА  
В АКУСТООПТИЧЕСКОМ ПРОЦЕССОРЕ

А. А. Сташкевич

Методом возмущений решается обобщенное уравнение Рамана—Ната для спектра дифрагированной световой волны в случае акустического возмущения сложного спектрального состава. С помощью ЭВМ рассчитываются нелинейные дифракционные явления применительно к режиму работы акустооптических процессоров.

Теории дифракции света на ультразвуке посвящено много работ. Детально изучен случай дифракции на одной и двух акустических гармонических волнах [1, 2]. Развиты теоретические методы решения задачи в более общей постановке [3, 4]. Однако расчетов дифракционных явлений для случая взаимодействия света с акустической волной, имеющей сложный спектральный состав, до настоящего времени не производилось. Численная оценка этих явлений необходима для понимания работы акустооптических процессоров. Этому вопросу и посвящена данная статья.

Решение задачи построено по методу возмущений. При выборе метода были приняты во внимание следующие соображения. Теория строилась применительно к работе акустооптических процессоров, т. е. устройств, работающих в линейном и слабонелинейном режимах дифракции. В этом случае ряд по степеням возмущения сходится быстро и определяется двумя членами: линейным и первым нелинейным. Приближения высших порядков можно не учитывать, что позволит существенно сократить объем вычислений при численной оценке дифракционных явлений. Кроме того, решение в виде ряда возмущений одинаково справедливо в широком диапазоне изменения параметров взаимодействия: в области дифракции Рамана—Ната, Брэгга и в промежуточной области. С другой стороны, метод возмущений позволяет рассматривать дифракцию света на ультразвуке как процесс многократного рассеяния и наглядно иллюстрируется диаграммами многократных переходов [5, 6].

Предварительно обобщим систему уравнений Рамана—Ната на случай, когда спектр акустического возмущения имеет произвольный вид. Геометрия дифракции света на ультразвуковом столбе толщиной  $L$  поясняется рис. 1. Световая волна падает наклонно под углом  $\theta$  к фронту акустической волны, распространяющейся вдоль оси  $x$ .

В скалярное волновое уравнение, описывающее распространение света в пространственно-неоднородной среде

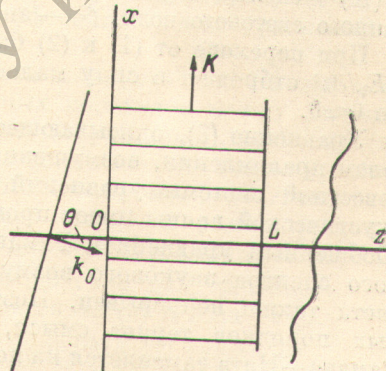


Рис. 1.

$$\frac{\partial^2 E}{\partial x^2} + \frac{\partial^2 E}{\partial z^2} + k_0^2 [\mu_0^2 + 2\mu_0\mu_1(x)] E = 0, \quad (1)$$

где  $E$  — амплитуда напряженности электрического поля световой волны,  $k_0$  — волновое число света в вакууме,  $\mu_0$  — значение показателя преломления в невозмущенной среде,  $\mu_1(x)$  — изменение величины показателя преломления, пропорциональное акустическому давлению, подставляем в виде

$$E = E_0 \exp(-ik_0 r),$$

где  $E_0(x, z)$  — некоторая функция, медленно изменяющаяся относительно переменной  $z$ ,  $\mathbf{k}_0 = (k_0 \sin \theta, k_0 \cos \theta)$  — волновой вектор падающей световой волны,  $\mathbf{r}$  — радиус-вектор.

Полученное таким образом уравнение для  $E_0$

$$\frac{\partial^2 E_0}{\partial x^2} + 2ik_0\mu_0 \frac{\partial E_0}{\partial x} + 2ik_0\mu_0 \frac{\partial E_0}{\partial z} + 2k_0^2\mu_0\mu_1(x) E_0 = 0 \quad (2)$$

переведем в частотную область

$$\frac{\partial \Phi(z, K)}{\partial z} + ik_0 [\Phi(z, K) \otimes \tilde{M}(K)] = i \frac{Q(K)}{2L} (1 - 2\alpha(K)) \Phi(z, K). \quad (3)$$

Границное условие

$$\Phi(0, K) = \delta(K). \quad (4)$$

В уравнениях (3), (4) использованы следующие обозначения:

$$\begin{aligned} \tilde{M}(K) &= \int_{-\infty}^{\infty} \mu_1(x) \exp(-ikx) dx, & \Phi(z, K) &= \int_{-\infty}^{\infty} E_0(x, z) \exp(-ikx) dx, \\ Q(K) &= \frac{K^2 L}{k_0 \mu_0}, & \alpha(K) &= \frac{k_0 \mu_0}{K} \theta, \end{aligned}$$

$\tilde{M}(K)$  — спектр акустического возмущения,  $\Phi(z, K)$  — спектр дифрагированного светового поля,  $\otimes$  — знак операции свертки.

При переходе от (1) к (2) были сделаны обычные допущения: 1) член  $\partial^2 E_0 / \partial z^2$  отброшен в силу малости, 2) считается, что  $\theta$  мало, и  $\cos \theta \approx 1$ ;  $\sin \theta \approx \theta$ .

Уравнение (3), описывающее распространение света в среде с показателем преломления, возмущенным по закону  $\mu_1(x)$ , является обобщением известной системы уравнений Рамана—Ната на случай, когда спектр акустической волны имеет произвольный вид. Далее будем называть его обобщенным уравнением Рамана—Ната. В случае непрерывного частотного спектра звукового возмущения угловой спектр дифрагированного света также непрерывен. Поэтому понятие спектральных дифракционных порядков теряет смысл, и дискретный индекс  $n$  в уравнениях Рамана—Ната заменяется на непрерывную переменную  $K$  в уравнении (3).

Решение (3) ищем в виде ряда по степеням  $\mu_{1\max}/\mu_0$ , предварительно перейдя от (3) к его изображению по Лапласу и используя граничное условие (4)

$$pS(p, K) - \delta(K) + ik_0 [S(p, K) \otimes \tilde{M}(K)] = i\Gamma(K), \quad (5)$$

где  $S(p, K) = L[\Phi(z, K)]$  — изображение по Лапласу  $\Phi(z, K)$ ,  $\Gamma(K) = \frac{Q(K)}{2L} [1 - 2\alpha(K)]$ .

В результате подстановки ряда

$$S(p, K) = \sum_{m=0}^{\infty} S^m(p, K) \quad (6)$$

в уравнение (5) и приравнивания коэффициентов при одинаковых степенях  $\mu_{1\max}/\mu_0$  получаем для  $S^1$  и  $S^3$

$$S^1(p, K) = \frac{-ik_0}{p(p - i\Gamma_1)} \tilde{M}(K), \quad (7)$$

$$S^3(p, K) = \frac{ik_0}{p(p - i\Gamma_1)} \int \int \frac{\tilde{M}(K_1) \tilde{M}(K_2) \tilde{M}(K - K_1 - K_2)}{(p - i\Gamma_2)(p - i\Gamma_3)} dK_1 dK_2, \quad (8)$$

$$\Gamma_1 = \Gamma(K), \quad \Gamma_2 = \Gamma(K - K_1), \quad \Gamma_3 = \Gamma(K - K_1 - K_2).$$

Переход из области  $p$  в область  $z$  с помощью обратного преобразования Лапласа и теоремы о вычетах не связан с принципиальными затруднениями. В результате первое и третье приближения ряда возмущений окончательно получаются в виде

$$\Phi^1(z, K) = \frac{k_0}{\Gamma_1} [1 - \exp(i\Gamma_1 z)] \tilde{M}(K), \quad (9)$$

$$\begin{aligned} \Phi^3(z, K) = k_0^3 & \int \int \left[ \frac{1}{\Gamma_1 \Gamma_2 \Gamma_3} - \frac{\exp(i\Gamma_1 z)}{\Gamma_1 \Gamma_{12} \Gamma_{13}} + \frac{\exp(i\Gamma_2 z)}{\Gamma_2 \Gamma_{12} \Gamma_{23}} - \frac{\exp(i\Gamma_3 z)}{\Gamma_3 \Gamma_{13} \Gamma_{23}} \right] \times \\ & \times \tilde{M}(K_1) \tilde{M}(K_2) \tilde{M}(K - K_1 - K_2) dK_1 dK_2, \end{aligned} \quad (10)$$

$$\Gamma_{12} = \Gamma_1 - \Gamma_2, \quad \Gamma_{13} = \Gamma_1 - \Gamma_3, \quad \Gamma_{23} = \Gamma_2 - \Gamma_3.$$

Условия  $K = K_1$ ;  $K_1 = -K_2$  соответствует появлению в (8) полюсов второго порядка, что не учитывается формулой (10). При численных расчетах для этих точек строятся специальные формулы, либо эти точки обходятся.

### Дифракция на акустической волне из одной и двух гармонических составляющих

В случае чисто гармонической акустической волны с волновым числом  $K_0$  спектр возмущения имеет вид

$$\tilde{M}(K) = \frac{1}{2} \mu_1 [\delta(K - K_0) + \delta(K + K_0)]. \quad (11)$$

Подстановка (11) в уравнение (3) и учет граничного условия (4) показывает, что обобщенное уравнение Рамана—Ната имеет смысл лишь для дискретного набора значений аргумента  $K_n = nK_0$  и для этих  $K_n$  сводится к известной системе разностно-дифференциальных уравнений Рамана—Ната.

Известно, что механизм рассеяния света на акустической волне может рассматриваться как система многократных переходов между разрешенными уровнями [5, 6] (рис. 2, a). В первый дифракционный порядок (первый разрешенный уровень) вносят вклад парциальные волны кратности  $2m+1$ . Для режима дифракции, близкого к линейному, достаточно учесть две парциальные волны: первая определяет линейный режим (однократный переход  $\hat{0}\hat{1}$ ), вторая — нелинейные добавки (трехкратные переходы  $\hat{0}\hat{1}\hat{2}\hat{1}$ ,  $\hat{0}\hat{1}\hat{0}\hat{1}$ ,  $\hat{0}-\hat{1}\hat{0}\hat{1}$ ). Соответствующее выражение для линейного члена в первом дифракционном порядке получается из (9) и имеет вид

$$\Phi_1^1 = -i \frac{k_0 \mu_1}{2} \exp \left[ i \frac{Q(K_0)(1 - 2\alpha(K_0))}{4} \right] \frac{\sin [Q(K_0)(1 - 2\alpha(K_0))]}{Q(K_0)[1 - 2\alpha(K_0)]}. \quad (12)$$

Формула (12) совпадает с аналогичными выражениями в работах [7, 8] при условии  $\alpha \approx 1/2$  и  $k_0 \mu_1 L < 1$ . Выражение для  $\Phi_1^3$  было численно проанализировано с помощью ЭВМ.

При наличии двух акустических гармоник с волновыми числами  $K_{01}$  и  $K_{02} = K_{01} + \Delta K_0$  система дифракционных порядков и переходов усложняется (рис. 2, б). Помимо основных уровней вида  $K_n = nK_{01}$ ,  $K_m = mK_{02}$  появляются подуровни, обусловленные поочередным рассеянием на обеих гармониках  $K_{nm} = nK_{01} + mK_{02}$ .

Линейные однократные переходы дают вклад в два основных первых уровня  $K_{01}$  и  $K_{02}$ . Нелинейные трехкратные переходы переносят энергию на основные уровни  $K_{01}$  и  $K_{02}$  за счет рассеяния на одной из акустических гармоник: переходы  $\hat{0}\hat{1}_1\hat{2}_1\hat{1}_1$ ,  $\hat{0}\hat{1}_1\hat{0}\hat{1}_1$ ,  $\hat{0}-\hat{1}_1\hat{0}\hat{1}_1$  для уровня  $K_{01}$  и переходы  $\hat{0}\hat{1}_2\hat{2}_2\hat{1}_2$ ,  $\hat{0}\hat{1}_2\hat{0}\hat{1}_2$ ,  $\hat{0}-\hat{1}_2\hat{0}\hat{1}_2$  для уровня  $K_{02}$ ; на основные уровни  $K_{01}$  и  $K_{02}$  за счет поочередного рассеяния на обеих гармониках: например, переход  $\hat{0}\hat{1}_2\hat{2}_0\hat{1}_1$  для уровня  $K_{01}$  и переход  $\hat{0}-\hat{1}_1\hat{0}\hat{1}_2$  для уровня  $K_{02}$ ; на подуровни  $K_{01} - \Delta K_0$  и  $K_{02} + \Delta K_0$  за счет поочередного рассеяния на обеих

гармониках: например, переход  $\hat{0}\hat{1}_1\hat{2}_1\hat{1}_3$  для подуровня  $K_{01} - \Delta K_0$  и переход  $\hat{0}\hat{1}_2\hat{2}_2\hat{1}_4$  для подуровня  $K_{02} + \Delta K_0$ .

На рис. 3 приведены угловые зависимости  $\Phi_1^3$  при различных  $Q$ . При расчетах амплитуды гармоник считались одинаковыми. В качестве аргумента взят нормированный угол  $\alpha$ . Значения  $\Phi_1^3$  отложены в логариф-

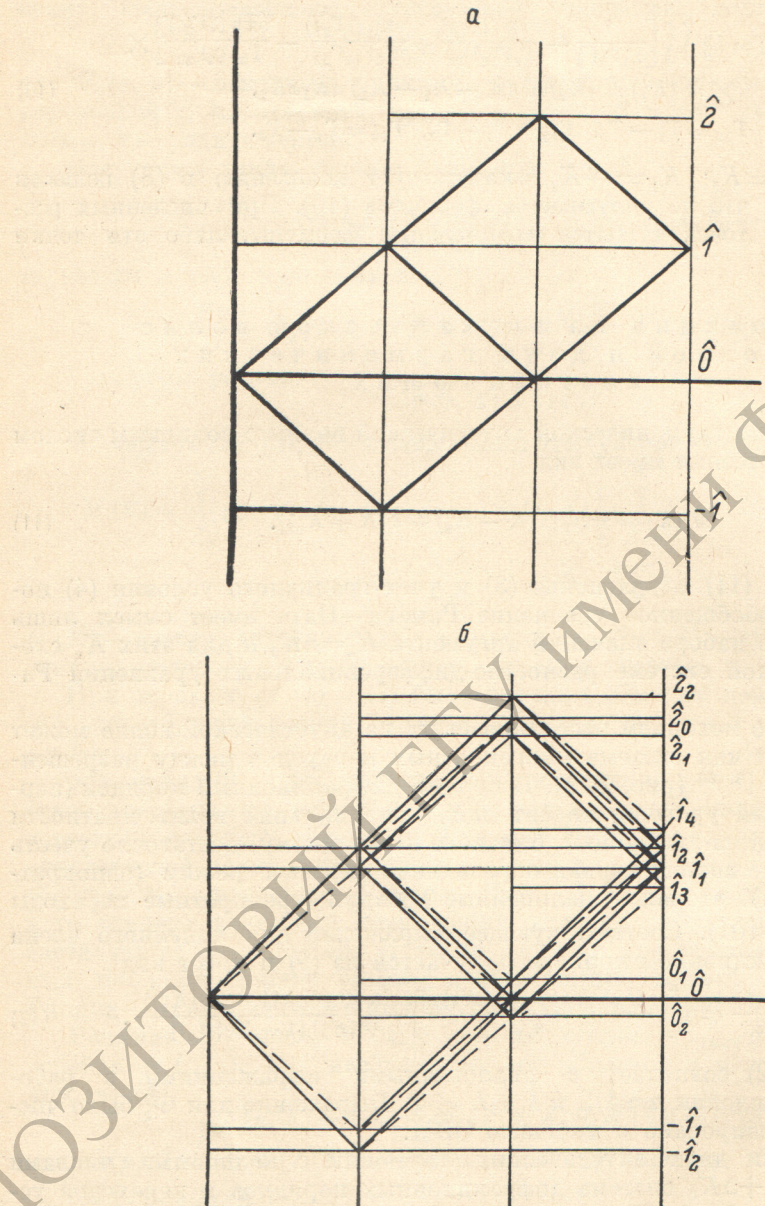


Рис. 2. Диаграммы многократных переходов.

а — дифракция на гармонической акустической волне, б — дифракция на акустической волне из двух гармоник.

мическом масштабе. Из приведенных зависимостей видно, что с ростом  $Q$  угловая характеристика обостряется, а величина  $\Phi_1^3$  уменьшается. На рис. 4, а и б отдельно в логарифмическом масштабе приведены зависимости величины  $\Phi_1^3$  от  $Q$  для брэгговского угла падения ( $\alpha=1/2$ ). Видно, что эти зависимости одинаковы для обоих рассматриваемых случаев:  $N=1$  и  $N=2$ . При малых  $Q$  ( $Q \ll 1$ ) и больших  $Q$  ( $Q \gg 1$ ) величина  $\Phi_1^3$  стремится к предельным значениям, которые в случае дифракции на чисто

гармонической волне составляют 16.0 и 6.5 дБ соответственно или в амплитудных значениях 0.0630 и 0.0211.

Как известно, условие  $Q \ll 1$  определяет низкочастотную дифракцию Рамана—Ната, а  $Q \gg 1$  — высокочастотную дифракцию Брэгга. Это по-

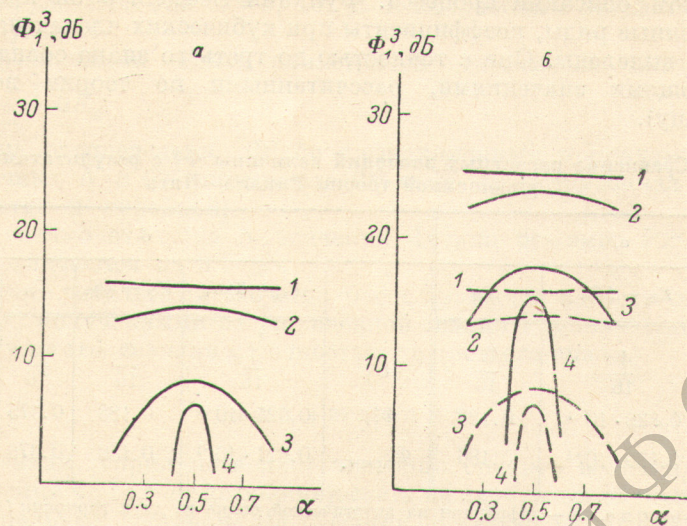


Рис. 3. Угловые зависимости  $\Phi_1^3$ .

*a* — для случая одной акустической гармоники ( $N=1$ ), *b* — для случая двух акустических гармоник ( $N=2$ ). 1 —  $Q=0.2$ , 2 —  $Q=0.6$ , 3 —  $Q=2.7$ , 4 —  $Q=20$ ; сплошная линия — уровень  $K_{01}$ , штриховая — подуровень  $K_{01}-\Delta K_{01}$ .

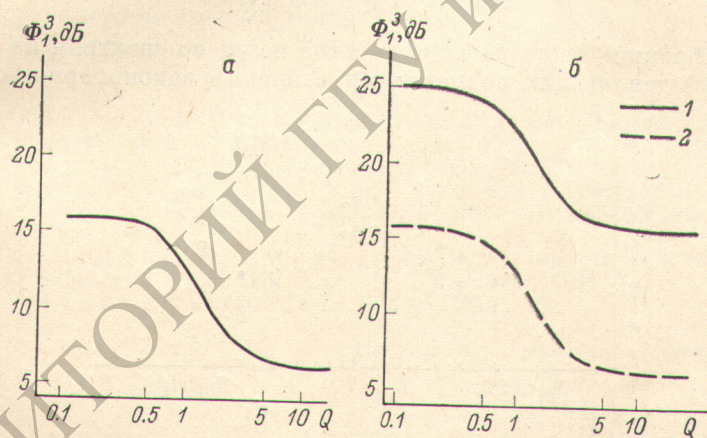


Рис. 4. Зависимость величины  $\Phi_1^3$  от параметра  $Q$ .

*a* — для случая одной акустической гармоники ( $N=1$ ), *b* — для случая двух акустических гармоник ( $N=2$ ); 1 — уровень  $K_{01}$ , 2 — подуровень  $K_{01}-\Delta K_{01}$ .

зволяет сравнить полученные результаты с известными теориями для этих предельных случаев. Амплитуда первого порядка в случае дифракции Рамана—Ната определяется выражением

$$\Phi_{1\text{РН}} = J_1(k_0 u_1 L) = \frac{k_0 u_1 L}{2} - \frac{(k_0 u_1 L)^3}{16} + \dots \quad (13)$$

в случае дифракции Брэгга

$$\Phi_{1\text{Бр}} = \sin\left(\frac{k_0 u_1 L}{2}\right) = \frac{k_0 u_1 L}{2} - \frac{(k_0 u_1 L)^3}{48} + \dots \quad (14)$$

Как видно, расчетные величины совпадают с численными коэффициентами при кубических членах в (13) и (14):  $1/16=0.0625 \approx 0.0630$ ,  $1/48=$

$=0.0208 \approx 0.0211$ . Упрощенную теорию Рамана—Ната можно использовать для проверки расчетных значений и в случае дифракции на двух акустических гармонических волнах. Наличие двух акустических гармоник приводит к перемножению двух рядов по функциям Бесселя при математическом описании процесса. Функции Бесселя были представлены через степенные ряды, коэффициенты при кубических членах полученного ряда были выделены. Они с точностью до третьего знака совпадают с соответствующими значениями, рассчитанными по теории возмущений (см. таблицу).

Сравнение расчетных значений величины  $\Phi_1^3$  с результатами упрощенной теории Рамана—Ната

	<i>a</i>		<i>b</i>			
	$K_{01} - \Delta K_0$	$K_{01}$	$K_{01} - 2\Delta K_0$	$K_{01} - \Delta K_0$	$K_{01}$	$K_{01} + \Delta K_0$
$C_1^3$	$\frac{1}{16}$	$\frac{3}{16}$	$C_1^3$	$\frac{1}{16}$	$\frac{3}{16}$	$\frac{6}{16}$
$\Phi_{1C}^3$	$0.625 \cdot 10^{-1}$	0.188	$\Phi_{1C}^3$	$0.625 \cdot 10^{-1}$	0.188	0.375
$\Phi_{1\text{расч.}}^3$	$0.620 \cdot 10^{-1}$	0.186	$\Phi_{1\text{расч.}}^3$	$0.621 \cdot 10^{-1}$	0.186	0.439

П р и м е ч а н и е. *a* — дифракция на акустической волне из двух гармоник ( $N=2$ ); *b* — дифракция на акустической волне из трех гармоник ( $N=3$ );  $C_1^3$  — значение численного коэффициента, полученное из ряда по функциям Бесселя;  $\Phi_{1C}^3$  — десятичное значение, соответствующее величине  $C_1^3$ ;  $\Phi_{1\text{расч.}}^3$  — значение  $\Phi_1^3$ , рассчитанное по методу возмущений.

### Д и ф рак ция на акустической волне из $N$ гармоник

При дифракции света на акустической волне со спектром из  $N$  гармонических составляющих сохраняются основные закономерности, ха-

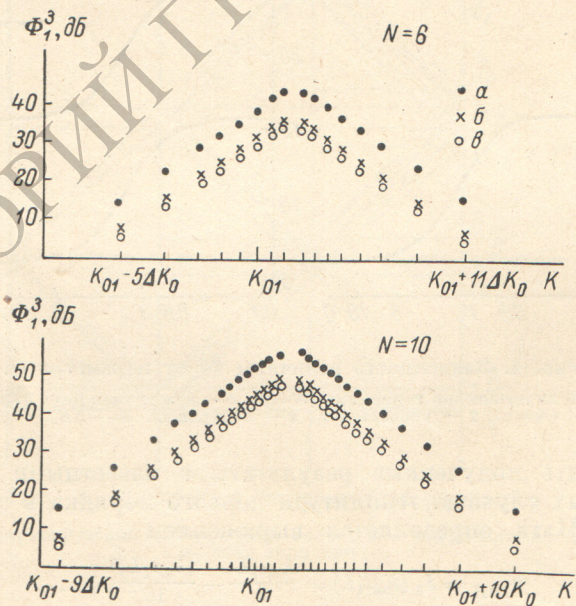


Рис. 5. Распределение  $\Phi_1^3$  в дифракционном спектре для  $N=6$  и  $N=10$ .  
*a* — режим Рамана—Ната ( $Q=0.1$ ), *b* — промежуточный режим ( $Q=3$ ), *c* — режим Брэгга ( $Q=10$ ).

терные для предыдущих случаев. В то же время увеличение числа  $N$  приводит к росту величины  $\Phi_1^3$ , для уровней  $K_{01}, K_{01}+\Delta K_0, \dots, K_{01}+(N-1)\Delta K_0$  и образованию новых подуровней  $K_{01}-(N-1)\Delta K_0, K_{01}-$

—  $(N-2) \Delta K_0$ , . . . ,  $K_{01} - \Delta K_0$  и  $K_{01} + N \Delta K_0$ ,  $K_{01} + (N+1) \Delta K_0$ , . . . ,  $K_{01} + 2(N-1) \Delta K_0$ . На ЭВМ были рассчитаны значения  $\Phi_1^3$  при различных  $Q$  для  $N$  от 3 до 20. Для наглядности амплитуды гармоник считались одинаковыми по величине. На рис. 5 в логарифмическом масштабе приводятся результаты расчетов для  $N=6, 10$ . Для полученных результатов характерно следующее:

1) дифракционный спектр симметричен относительно значения  $K = K_{01} + \frac{N-1}{2} \Delta K_0$ ;

2) форма распределения  $\Phi_1^3$  по дифракционным порядкам одинакова для различных  $N$  и  $Q$ ; зависимость  $\Phi_1^3$  от  $K$ , представленная на рис. 5, приближается к линейной;

3) независимо от числа  $N$  значения  $\Phi_1^3$  для режимов Рамана—Ната и Брэгга отличаются на 9.5 дБ.

Для  $N=3$  результаты расчетов были сравнены с соответствующими значениями, полученными из упрощенной теории Рамана—Ната (см. таблицу). Результаты совпали с точностью до третьего знака.

### З а к л ю ч е н и е

Построенная теория позволяет численно оценить величину нелинейных искажений  $\Phi_1^3$  за счет дифракции света на акустической волне со сложным спектральным составом. Из расчетов, в частности, следует, что низкий уровень  $\Phi_1^3$ , характерный для брэгговской дифракции ( $Q \gg 1$ ), сохраняется для режимов дифракции со значением  $Q$  вплоть до 3.0, обычно считаемых промежуточными. Расширение угловых характеристик дифракционного процесса за счет уменьшения  $Q$  при сохранении низкого уровня нелинейных искажений позволит оптимизировать режим работы некоторых типов акустооптических процессоров.

### Л и т е р а т у р а

- [1] W. R. Klein, B. D. Cook. IEEE Trans. Son. and Ultrason., 14, 123, 1967.
- [2] Н. А. Бродович. Опт. и спектр., 33, 748, 1972.
- [3] А. М. Мартынов. Радиотехн. и электрон., 22, 533, 1977.
- [4] В. Н. Паргин, Л. Е. Чирков. Радиотехн. и электрон., 18, 703, 1973.
- [5] M. V. Begay. The Diffraction of Light by Ultrasound. Academic Press, N. Y.—L., 1966.
- [6] А. М. Мартынов, И. С. Мирер. Изв. вузов, радиофизика, 18, 1845, 1975.
- [7] P. Phariseau. Proc. Ind. Acad. Sci., A44, 165, 1956.
- [8] H. Kogelnik. Bell Syst. Techn. J., 48, 2909, 1969.

Поступило в Редакцию 13 февраля 1978 г.